

**Кварковое ядро Солнца и скорости гравитации внутри солнечной системы.
Гравитационный лазеры**

К. В. Zubov^б, А. В. Zubov^а, В. А. Zubov^{б*}

*^аИнститут Информатики, факультет Компьютерной Науки, университет им. Гумбольда,
Д-12489 Берлин, Рудоверишоссе 25, дом III, 3-ий коридор, дом Ёохана фон Ноймана, Тел.:
004930 20933291, zubow@informatik.hu-berlin.de*

*^бКомпания «A IST H&C», Отд. НИР, PF 520253, D-12592 Берлин, ЕС-Германия,
тел.: 00493993487579, aist@zubow.de*

На сайте А. Зайцева 16.07. 2011

Аннотация

Методом гравитационной масс-спектроскопии исследован резонанс слабого гравитационного излучения (СГИ) гидрогеля агарозы и полиэтиленгликоля с гравитационными излучениями (ГИ) небесных тел (Солнце, Юпитер, Уран, Меркурий, Луна). Установлено, что абсорбция СГИ проб Солнцем отлична в момент попадания звезды в плоскость гравитационного резонанса протонов (ПГРП). Обнаружены сигналы гравитационного Солнца (ГС), Меркурия и Луны. ГС состоит из короны, центра и субъядра, последнее близко по природе к материи «голых» протонов водородных мостиков (ВМ) проб и резонансно вступает с ними во взаимодействие. Подтверждена модель протона как аналога чёрной дыры. Сделан вывод о кварковом составе субъядра и нейтронном построении ядра ГС. Экспериментально определена скорость ГИ в пространстве пробы и влияния на скорость положения газовых гигантов (ГГ). В моменты оппозиции Солнца и ГГ она превышала скорость света в 2...8 раз. ГГ замедляют скорость гравитации в сторону Солнца. Экспериментально подтверждена роль Земли как гравитационного зеркала. Исследованы моды (6) гравитационного резонатора гравитационного выстрела Луны в сторону Земли. Обнаружено влияния на энергию ансамбля кластеров воды ГИ небесных тел. Дана модель генерации ГИ ансамблем протонов Земли.

Ключевые слова. Солнце, ядро, кварки, гравитация, структура, свойства, выстрел гравитационный, молекулярные сгустки.

Keywords: Sun nucleus, quarks, gravitation, structure, properties, gravitation shoot, molecular clusters.

РАСС: 0480, 7000, 9780M, 9700, 9660, 9630K, 9620J, 9580, 9575S, 9555S, 9530Q, 9530C, 9260D, 8710, 8630, 8600, 8240, 8200, 3420, 8160J, 8100, 7900, 7800, 6180B, 3640, 6000, 4260F, 3520X, 3520D, 3500, 3000, 3640, 3620H, 2900, 2400, 2160G, 2000, 1480D, 1300, 1225, 1000, 0768, 0700, 0630E, 0455, 0430, 0420C, 0200.

UDC: 539.1:53.05

Введение

Ещё в начале 90-х годов прошлого века группа русских учёных под руководством академика Лаврентьева обнаружила реакцию фотосенсора и даже микроорганизмов на раннее появление небесных тел, до их видимого появления, однако причины не были поняты [1,2,3,4]. Научная общественность проигнорировала все эти сообщения. Нами показана возможность с помощью гравитационного масс-спектрометра Зубова (ГМСЗ, ранее названный спектрометр мерцаний в шумах, СМШ) регистрировать гравитационное излучение (ГИ) небесных тел и проводить замеры скоростей гравитации [5,6] небесных тел дальнего космоса. При этом сигналы этих тел появляются раньше их видимого появления.

Представляет интерес сканирование ГМСЗ Солнца на предмет понимания структуры и свойств гравитации и структурных особенностей звезды в сторону которой происходит отток ГИ планет [6,7].

Экспериментальная часть

В качестве объектов исследования выбраны: гидрогель агарозы, моделирующий биоматрицы (97 вес. % воды), дисциллированная вода, водный раствор поваренной соли и жидкий полиэтиленгликоль (ПЭГ-400, «Мерк», 400 Дальтон). ГМСЗ сенсор размещался в жидкости. Процедура снятия ГМС-спектров и подробное описание методики анализа дано в работах [8,9,10,11]. Массы и частоты осцилляций кластеров в пробах рассчитывали по уравнению Зубова [11] с использованием константы $6.4 \cdot 10^{-15}$ Н/м. Анализ дальнего порядка в пробах на уровне их кластерного построения производился в периоды попадания небесных тел в плоскость гравитационного резонанса протонов [5], наблюдаемое над территорией Северной Германии ($53^{\circ} 38'$ с.ш. и $12^{\circ} 35'$ в.д.). Пробы помещались в металлический, заземлённый бокс и максимально защищались от света, шумов, тепловых и механических полей. Бокс размещался вдали от промышленных центров и источников антропогенных шумов, внутри здания. Для понимания метода, в работе [6] представлено семейство кривых, отражающих поток гравитационной энергии (сумма очищенных сигналов) достигающей гравитационный сенсор [5] в этих пробах. Сгустки молекулярных масс (сгустки ядер) в этих пробах формируются в энергетических сгустках стоячих гравитационных волн космоса и отражают состояние гравитационного поля в пространстве пробы. Поток гравитационной энергии небесных тел вступает в резонанс со слабым гравитационным излучением протонов проб, что и регистрируется сенсором. Алгоритм выделения действительных сигналов представлен в работе [10]. Для понимания положения небесных тел использовали программу ZET 9 (www.astrozet.net).

Результаты и их обсуждение

На рисунке 1 представлены результаты сканирования Солнца и Меркурия при их попадании в плоскость гравитационного резонанса протонов (ПГРП) масс-спектрометра.



Рис.1. Сканирование полиэтиленгликолем-400 (ПЭГ) гравитационных излучений небесных тел попадающих в ПГРП. Число видов кластеров (N) в ансамбле кластеров воды гидрогеля. По-минутное сканирование. Расстояние до Солнца $1.49 \cdot 10^8$ км, до Меркурия $2.02 \cdot 10^8$ км. Нормальное число видов кластеров в ансамбле сгустков масс до 3 млн. Да составляет 55.

Как видно из этого рисунка, число видов кластеров в полимере принимает экстремальные значения в периоды появления видимых и гравитационных сигналов небесных тел. Это согласуется с найденной нами структурой гравитационного излучения (ГИ), состоящего из двух частей, собственно гравитационной компоненты и гравитационной ряби, распространяющейся со скоростью света [12]. Рассмотрим характер сигналов, в области гравитационного Солнца, при более высоком разрешении ГМСЗ спектрометра (рис. 2). Из этого рисунка следует, что ГИ Солнца гетерогенно и представлено семейством сигналов, которые в обзорном спектре (рис. 1), с низким разрешением, отсутствуют. Диск Солнца (видимого) пересекает ПГРП в течение ~ 2 минут, будем считать применимыми эти условия и для гравитационного диска Светила. Из рисунка 2 видно присутствие справа и слева от центрального сигнала группы более слабых сигналов. Для понимания природы этих сигналов рассмотрим поведение более чувствительной характеристики кластеров в ПЭГ, а именно, среднюю молекулярную массу кластеров ($M_{ГМС}$) в ансамбле до 3 млн. Дальтон (рис. 3).

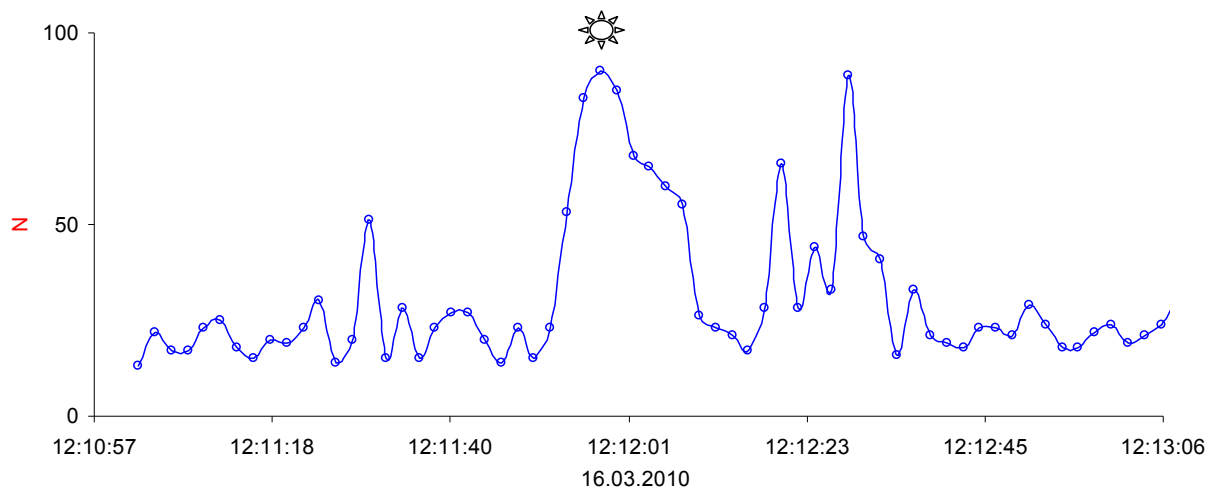


Рис. 2. Структура сигналов в области гравитационного сигнала Солнца (рис. 1), сканирование с шагом в 2 с. Центр гравитационного Солнца в ПГРП указан значком.

Значение $M_{ГМС}$ отражает эффективное взаимодействие кластеров со своим окружением [6,7] посредством водородных мостиков (ВМ, голых протонов, по терминологии Полинга [13]). На рисунке 3 представлена эта кривая, кривая изменения $M_{ГМС}$ в сенсоре в момент попадания гравитационного Солнца в ПГРП (рис. 2). Рост $M_{ГМС}$ более чем в 50 раз свидетельствует об индивидуализации кластеров, уменьшения их взаимодействия с окружением посредством межкластерных ВМ, которые в момент 1 диапазона II, практически исчезли. Протоны ВМ растворились в физическом вакууме и покинули пространство сенсора в направлении Солнца [6,7,14]. Однако пик 1 не является центром ГС, при повышении разрешения до 0.5 с, он, как и пик 3, становится сопровождающим пик 2 который при этом становится центральным. Симметричность по отношению к нему пиков 1 и 3 указывает на послонное строение ядра, типа луковицы. Понять наличие 3-х диапазонов помогает рис. 4, на котором условно представлена модель диска гравитационного Солнца в ПГРП.

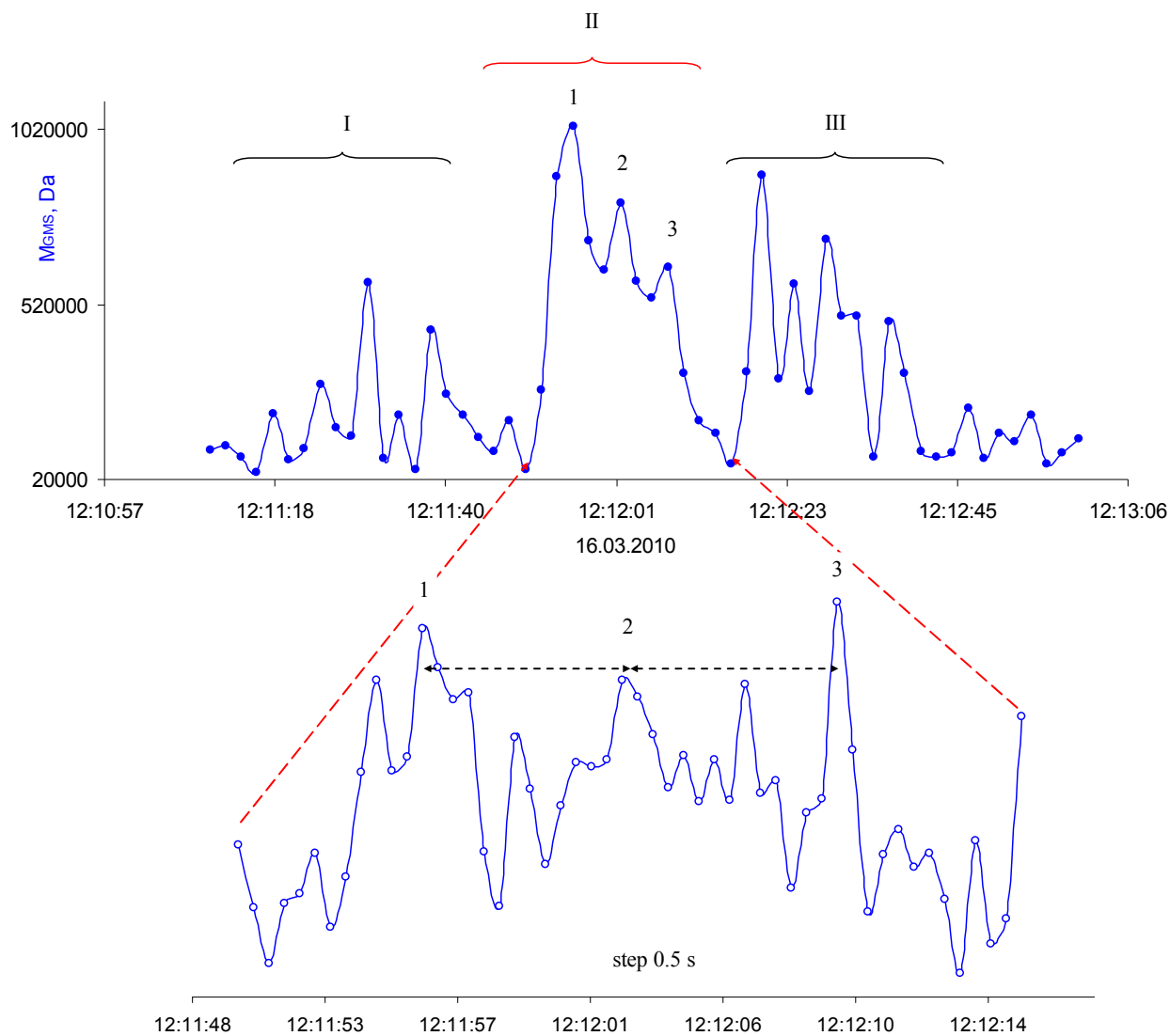


Рис. 3. Характер изменения средней молекулярной массы кластеров ПЭГ в диапазоне времён появления сигналов от гравитационного Солнца (рис. 1). Развёртка части спектра (рис. 1) с шагом в 2 с и 0.5 с.

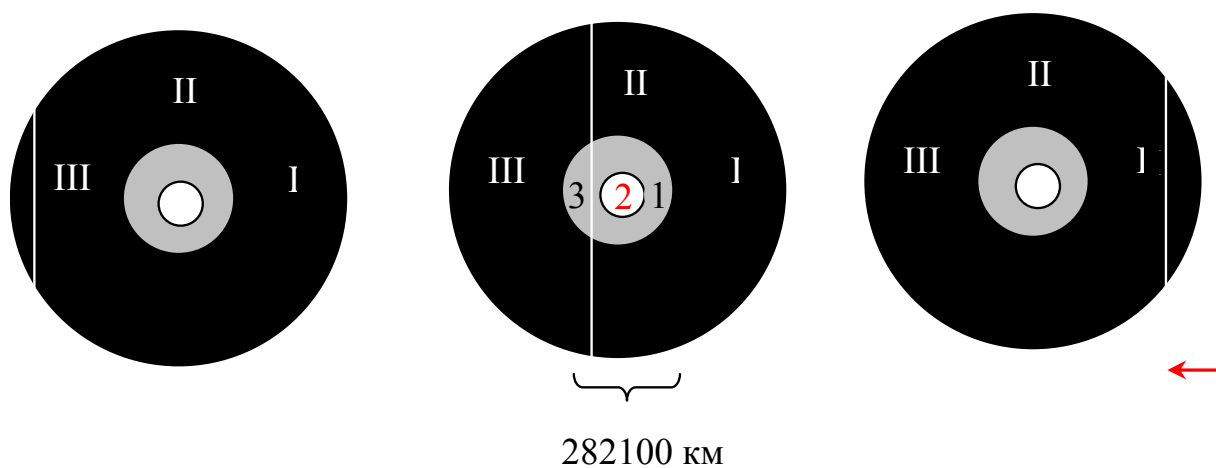


Рис. 4. Модель диска гравитационного Солнца попадающего в ПГРП (белая вертикальная линия), сканирующую события в диапазонах времён I, II и III (рис. 3). Горизонтальная стрелка – движение ПГРП. Чёрный диск – корона гравитационного Солнца.

Отсос межкластерных протонов ВМ в центр Солнца [6,7] максимален в диапазоне II (рис. 3), который приходится на центральную часть звезды. Но и в самом этом диапазоне обнаруживаются три сигнала, отражающие наличие как минимум второго субцентра (2). Размеры центра (1+2+3) и субцентра (2) можно приблизительно рассчитать из времён сканирования гравитационного Солнца. Они составили 26 и 4 секунды, соответственно, или 282100 и 43400 км. Вернёмся к рисунку 3. Сигналы диапазонов I и III имеют одинаковую природу с диапазоном I и, по-видимому, они являются следствием флуктуаций ядра или его диффузным, не выраженным характером. Процессы в ядре проявляются с некоторой вероятностью и в интервалах I и II. Аналогичное можно утверждать и для субцентра (2). Резонансное взаимодействие протонов ВМ сенсора и материи субцентра, регистрируемое ГМСЗ, отражает их одинаковую природу. Тогда, согласно работы [15] и этого вывода, следует, что материя в субцентре (субядре) представлена конденсирующимися кварками с экзотермическим эффектом образования протонов, ведущим затем к протеканию вторичной термоядерной реакции синтеза ядер гелия. Процессы же флуктуации ядра следует понимать как результат флуктуационной динамики гравитационных потоков от быстро меняющейся констелляции небесных тел окружения звезды. С другой стороны мы приходим к выводу, что ядро гравитационного Солнца представлено нейтронной компонентой (1 и 3), рис. 4. Этот вывод удовлетворительно подтверждает место кварковых звёзд, как переходного состояния от нейтронной звезды к чёрной дыре [16].

Ранее было показано, что на скорость гравитации влияет констелляция небесных тел, в частности, положение галактик и их центров по отношению к Солнцу [5]. Если взять в качестве эталона скоростей сигналы для скорости света от Солнца к Земле, то возникает принципиальная возможность расчёта скоростей главного ГИ в ближнем космосе с участием, например, Земли Солнца и газовых гигантов. Для этого используем временные характеристики сигналов гравитационного Солнца и влияние на них газовых гигантов. На рисунке 5 представлена кривая энергии ансамбля кластеров воды в гидрогеле агарозы в период пересечения ПГРП звездой и газовыми гигантами, которые в это время находились почти в оппозиции на одной линии: Солнце-Земля-Юпитер-Уран. Из рисунка видно, что ансамбль кластеров воды в гидрогеле сенсора теряет энергию при попадании этих небесных тел в ПГРП. Это следует понимать, в рамках развиваемой нами модели [6,7], как отток гравитационной энергии из пространства пробы в сторону гигантских сгустков масс в ближайшем космосе. Эффекты имеют явно выраженный эндотермический характер и подтверждают модель растворения протонов в физическом вакууме [14].

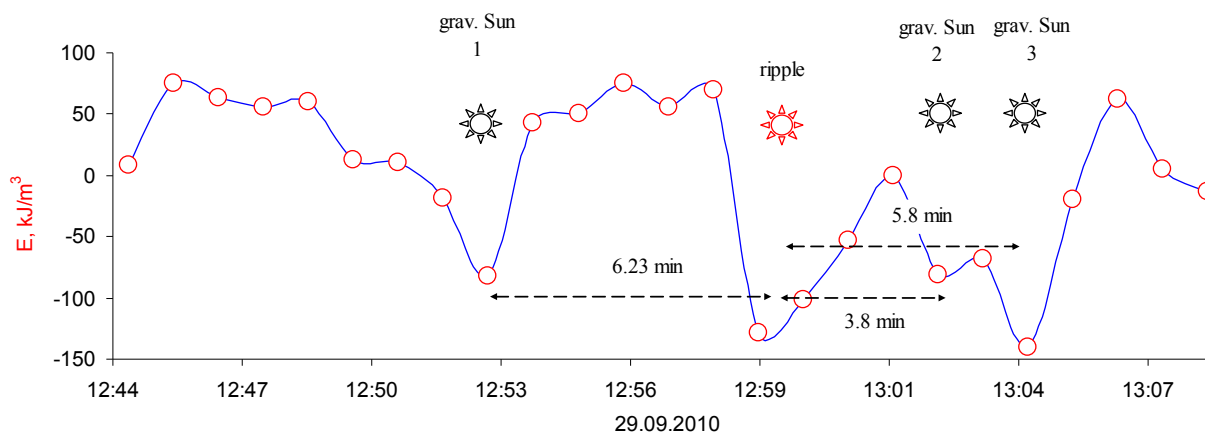


Рис. 5. Влияние небесных тел на энергию ансамбля кластеров (гидрогель агарозы, 97 вес. % воды, ансамбль масс до 3 млн. Да). Расстояние до Солнца: 1.00173, до Юпитера 3.96499 и до Урана 19.09932 а.е. Скорость гравитации: $1.15 \cdot 10^9$ (1 гравитационное Солнце) м/с, (ripple) $3 \cdot 10^8$ м/с (видимое Солнце, скорость света), $2.06 \cdot 10^8$ (2, заторможенная Юпитером ГИ) и $1.77 \cdot 10^8$ м/с (3, заторможенная Ураном и частично Юпитером ГИ). Калибровка сделана по энергии испарения воды при 298 К ($2.45 \cdot 10^6$, кДж/м³), при которой происходит полное разрушение кластерной структуры жидкости.

Из рисунка 5 также следует, что сгустки масс в газовых гигантах влияют на скорость ГИ. Следовательно в космосе происходят постоянные изменения скорости ГИ в зависимости от места наблюдения и конstellации по отношению к нему всех возможных сгустков масс. Большие сгустки масс в ближнем космосе разрушают монотонность прямого/главного потока ГИ и он может раздваиваться с появлением более медленных компонентов. На рисунке 6 представлены результаты расчётов сверхсветовых скоростей ГИ в зависимости от угла оппозиций газовых гигантов Юпитера и Урана. Видно, что кривая имеет вид параболы с минимум в точке не точно соответствующей оппозиции планет и Солнца в 180°. Минимум скоростей несколько сдвинут в сторону меньших углов (175...176°) по причине не полного попадания газовых гигантов, Земли и Солнца на одну линию. При нарушении условия оппозиции скорости ГИ резко возрастают.

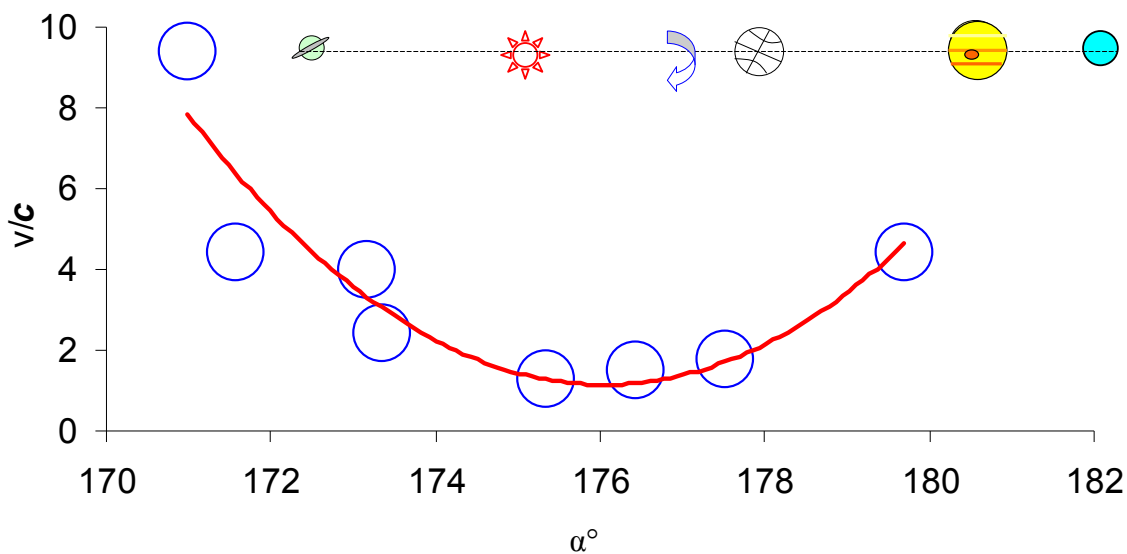


Рис. 6. Влияние угла (α°) оппозиции Юпитера, Урана и Солнца на скорость гравитации (v) по отношению к скорости света (c) в месте нахождения сенсора (рис. 5). Данные получены при анализе оппозиций Солнца с газовыми гигантами: Нептун, Юпитер и Уран, а также конъюгаций Солнце-Уран в период с 6.08.2009 по 29.9.2010. Дана модель оппозиции Солнца – Юпитера и Нептуна и конъюгации Солнца и Сатурна.

Процесс генерации ГИ небесными телами можно рассматривать как аккумулированный выброс энергии гравитационными лазерами небесных тел. Моделирование этого процесса принуждает понимать планету Земля как большой гироскоп (рис. 7), а ядра атомов из которых, преимущественно, состоит планета как элементарные гироскопы - элементы большого гироскопа. Элементарные гироскопы в невозбуждённом состоянии вращаются с осями перпендикулярными оси вращения большого гироскопа. Модель вращающегося

протона, как аналога современной модели «Чёрной дыры», предусматривает формирование в нём стоячих волн из 3-х, 4-х сгустков энергии или кварков (рис. 7). Причём, число кварков зависит от скорости вращения волны энергии внутри протона, её растворения в физическом вакууме и конденсации из него, чем она выше тем больше число виртуальных частиц-кварков. Образование стоячих волн во вращающихся изотропных жидкостях – хорошо известный феномен, [17,18,19], что позволяет, в первом приближении, понять природу кварков как виртуальных частиц. В этих работах можно познакомиться с гидродинамикой движения жидкостей и газов и перенести это представление на динамику вращения энергетических сгустков внутри протона и вращения самого протона.

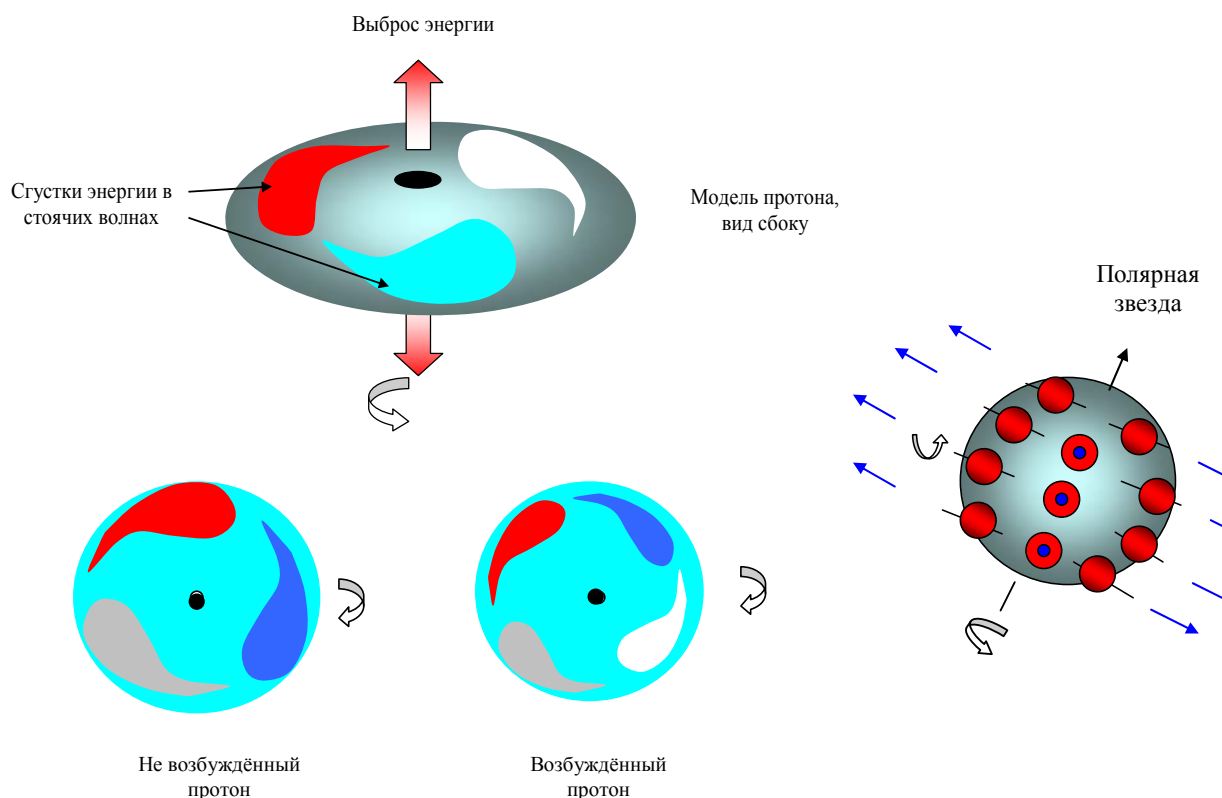


Рис. 7. Модели структур возбуждённого и не возбуждённого протонов. Сгустки энергии, в виде стоячих волн (кварков) во вращающейся вокруг центра протона волны энергии, показаны цветными «каплями». Внизу вид на модель сверху. Модель (справа) планеты Земли как вращающегося большого гироскопа и модели ядер (протонов), как составляющих её элементарных гироскопов. Голубыми стрелками и точками показаны потоки гравитационной энергии. Комментарий в тексте.

В этой модели протоны являются прототипами «чёрной дыры». Они отбирают гравитационную энергию окружения [6] и выбрасывают часть её в виде джета (аналог модели циркуляции гравитационной и барионной материй в нашей солнечной). Этот процесс, однако, сильно зависит от окружения и его равновесие может быть сдвинуто отборами гравитации в пользу более сильных семейств осцилляторов [5]. Таким образом, вращение модели-Земли приводит к некоторой активации таких состояний протонов и сбросу ими избытка гравитационной энергии по вектору центробежной силы планеты (это мы также наблюдали при вращении тел [20]) и концентрации гравитационной энергии в центре планеты. Из этой модели следует принципиальная возможность существования гравитационного лазера и накачки его энергией гравитации ядер по оси планеты, а также

резонансного взаимодействия слабого гравитационного излучения (СГИ) пробы вещества с гравитационными излучениями иных небесных тел, попадающих в ПГРП. Если модель, данная на рис. 7, верна то следует ожидать энергетические выстрелы гравитационного лазера, инициируемого определённой конstellацией небесных тел, а обнаружение мод гравитационного резонатора, типичных для всех лазерных излучений [21], подтвердит природу такого лазера и модель его генерации протонами, как прототипами «чёрных дыр», барионной материи Земли. Нам удалось зарегистрировать гравитационный выстрел и описать его в работе [22]. Он характеризовался выраженными модами гравитационного резонатора и даже привёл к авиакатастрофе. Разумно полагать, что процесс выброса ГИ будет значительно усилен резонансом если плоскость, проходящая через ось вращения Земли и местом пробы на её поверхности (ПГРП), совпадёт с небесным телом, также находящимся в эклиптике, например, Юпитера, Урана или Солнца (рис. 5). При этом отток ГИ из ядер молекул (пробы или объекта) в этой плоскости на Земле резко замедлится или усилится в результате резонанса с более крупными массивами кластеров Земли и небесного тела. Сигналы гравитационного Солнца (рис. 3) также можно рассматривать как моды гравитационного резонатора. Однако гравитационный выстрел может быть не только прямым, но и отражённым от небесных тел. На рис. 8 представлены моды гравитационного выстрела Луны через центр Земли (гравитационное зеркало) в сторону Солнца 18.09.2010. Сигнал гравитационного Солнца был зарегистрирован за 8 минут до видимого сигнала от попавшей в ПГРП Луны. Сравнение данных рис. 5 (отбор гравитационной энергии) и рис. 8, с экзотермическим процессом накачки в пространство сенсора гравитационной энергии, свидетельствует, что двойная планета Луна-Земля, с доминирующей ролью Земли, выступает как единый донор гравитационной энергии в сторону Солнца, при этом изначальный поток от Луны направлен в центр Земли и далее через него в сторону Светила. Примечательно, что в этом случае Луна находилась вблизи плоскости эклиптики $2^{\circ} 17$ мин в которой разыгрываются главные гравитационные события внутри солнечной системы. Энергия мод гравитационного резонатора (I...VI, рис. 8) Луны относительно слаба, чтобы вызвать в месте расположения сенсора серьёзные разрушения дальнего порядка воды, по-видимому вследствие попадания в пространство сенсора только части гравитационного выстрела.

Заметим, что ещё в 2000 году авторами работы [23] сделан вывод о наличии у планеты Земля гравитационного зеркала. Масса его составляет $3.8 \cdot 10^{-3}$ массы Земли или $2.27 \cdot 10^{22}$ кг (для средней плотности в $d = 5520$ кг/м³ объём массы в зеркале составит $4.1 \cdot 10^{18}$ м³). Простой расчёт показывает, что таким вогнутым зеркалом является параболоид [24], образованный земной корой (при средней толщине в 33 км) и поверхностью Земли $A = \pi \cdot D^2$, где $D = 12742$ км. Тогда масса зеркала (полусферы) составит $A \cdot 33 \cdot d \cdot 10^6 / 2 = 4.6 \cdot 10^{22}$ кг, а параболоида в два раза меньше, $2.3 \cdot 10^{22}$ кг. Совпадение значения массы зеркала, сделанное Игнатьевым и Волькасом в работе [23] с этим расчётом, также свидетельствует о корректности модели, представленной на рис. 7, и для Луны.

В работе [22] было показано, что гравитационные выстрелы в состоянии нарушать работу компьютерных сетей и даже сбивать самолёты. Пример сильного концентрированного гравитационного выстрела может дать фотография Патомского кратера в Сибире (<http://nauka.izvestia.ru/earth/article92975.html>).

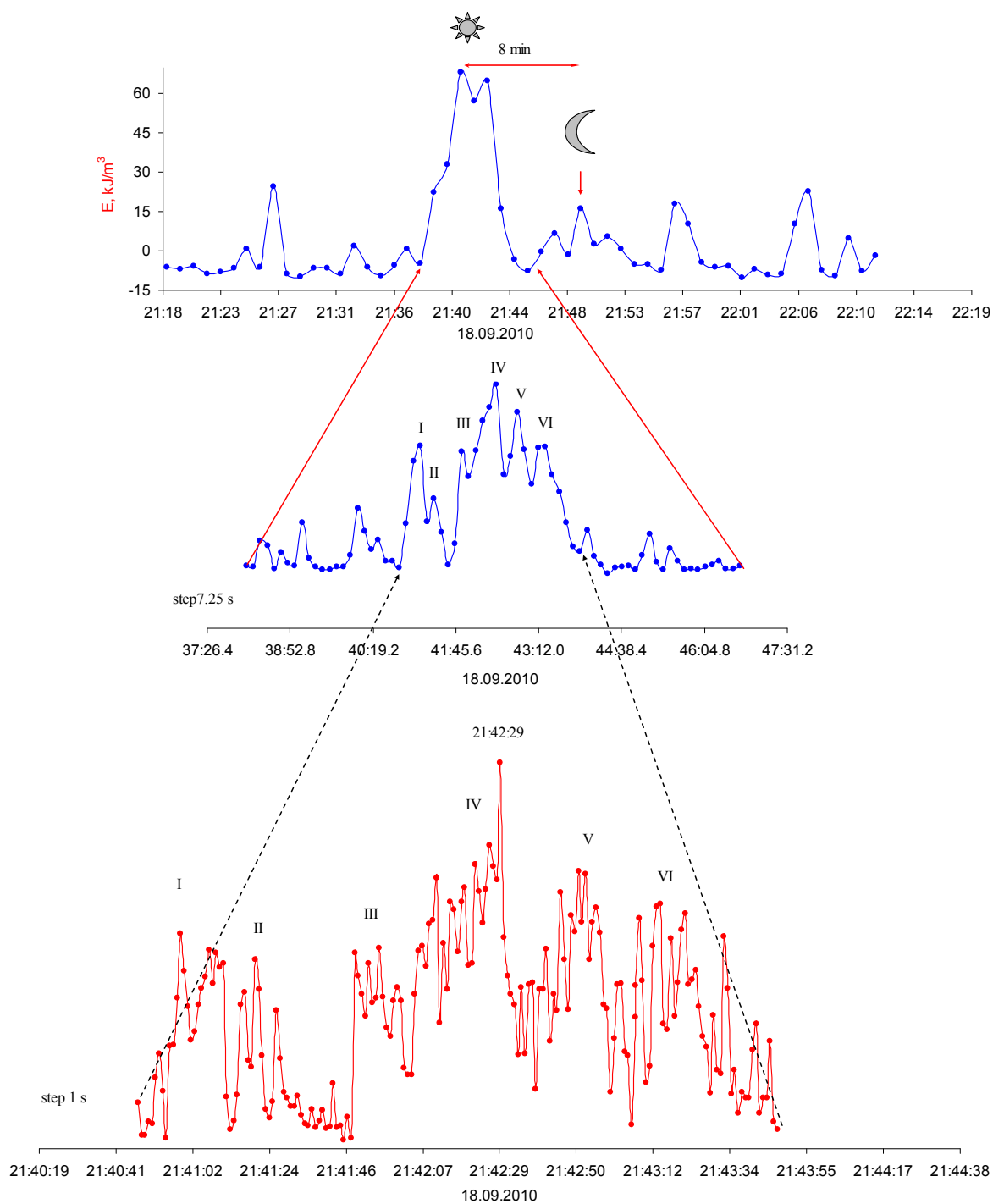


Рис. 8. Гравитационный выстрел Луны (geocentric latitude $2^\circ 17$ мин) в сторону пространства сенсора. В качестве датчика использован агарозный гидрогель. Ансамбль кластеров до 3 млн. Дальтон.

Рассмотрим структуру гравитационного выстрела в период попадания Луны в эклиптику. На рисунке 9 представлены данные по анализу числа видов кластеров воды в агарозном гидрогеле в период попадания Луны в ПГРП и эклиптику солнечной системы. В момент входа спутника в плоскость эклиптики произошёл резонанс протонов пробы, Луны и Солнца, приведший к резкому уменьшению числа видов кластеров в сенсоре. Заметим, что в период входа Луны в эклиптику произошла активация деятельности крупнейшего вулкана на Яве и 2-х вулканов на Камчатке, а также сильных землетрясений и цунами в районе острова Ява. По-видимому эти катастрофы связаны с подъёмом жидкой части мантии Земли [6]. Характер сигналов на кривой с разрешением в 2 с типичен для лазерного излучения и может быть понят как проявление мод гравитационного резонатора.

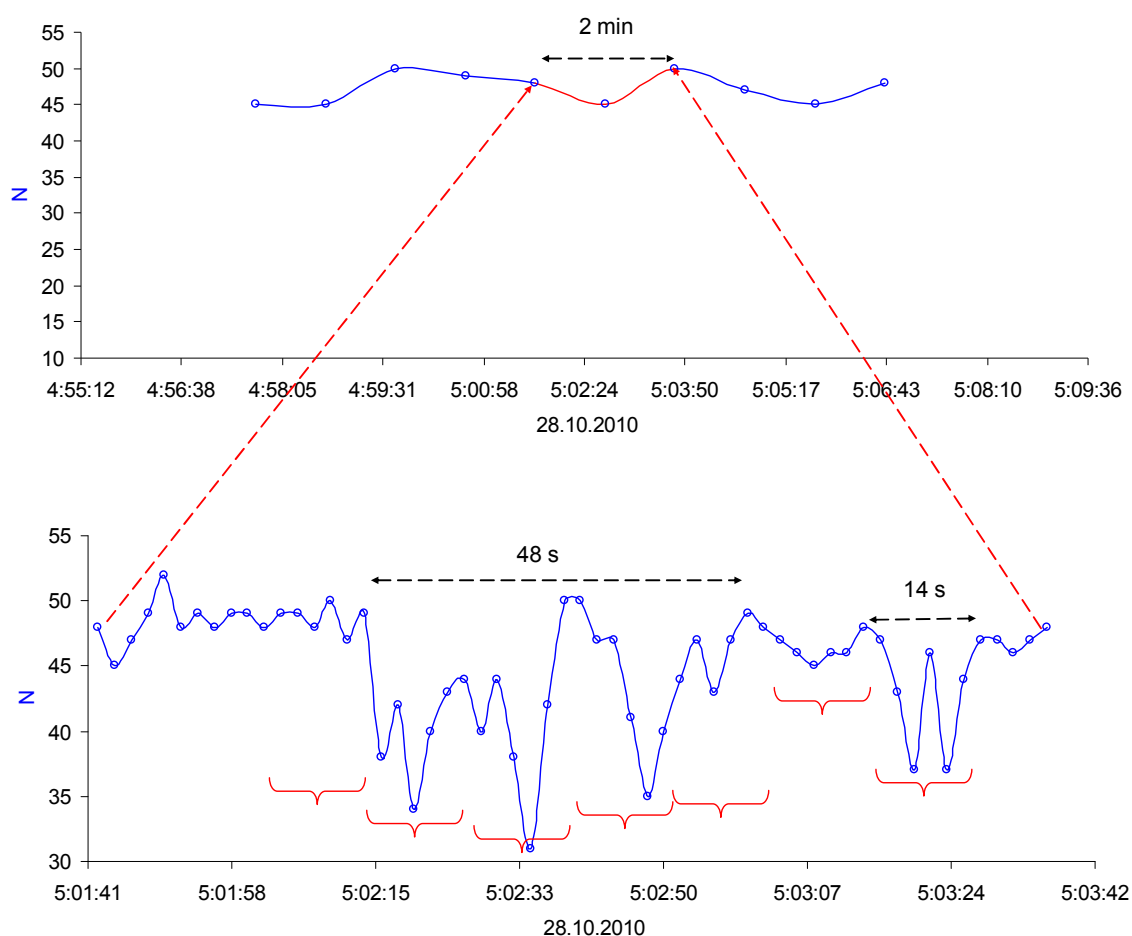


Рис. 9. Характер изменения числа видов кластеров воды в гидрогеле агарозы в период попадания Луны в ПГРП и пересечения её эклиптики (geocentric latitude $0^\circ 0$ мин). Горизонтальными скобками указаны моды гравитационного резонатора гравитационного лазера в сторону Луны и далее в сторону Солнца. Верхний график – сканирование с шагом в 1 минуту, нижний с шагом в 2 секунды.

Заключение

Солнце адсорбирует гравитационное излучение окружающих небесных тел ближнего космоса. Структура потока ГИ представлена двумя направлениями, главным гравитационным потоком в сторону Солнца, распространяющимся со сверхсветовой скоростью и его следами в виде гравитационной ряби, распространяющейся со скоростью света. Солнце регистрируется в виде двух сигналов: гравитационного и видимого Солнца. Гравитационное Солнце имеет многослойную структуру в виде короны, ядра и субядра. Материя в субядре резонансно взаимодействует с материей в протонах ВМ и по свойствам аналогична таковой в протонах сенсора. Термоядерный синтез на Солнце является вторичной реакцией получающей энергию от процесса конденсации протонов в субядре. В космосе происходят постоянные изменения скорости ГИ в зависимости от места наблюдения и констелляции по отношению к нему всех возможных сгустков масс. Отток гравитационной энергии в сторону Солнца, в виде растворяющихся протонов водородных мостиков в воде, может усиливаться планетами и достигать уровня гравитационных выстрелов с катастрофическими последствиями.

Благодарность

Авторы выражают свою благодарность за финансовую поддержку работы в рамках инициативы “FNS” компании «Aist Handels- und Consulting” GmbH.

Литература

-
- [1]. N. A. Kozyrev, V.V. Nasonova. „About some properties of time...“, In. “*Displayng of space factories on the Earth and stars*“. М., L., 1980, pp. 76-84. (in Russian). [Козырев Н.А., Насонов В.В. "О некоторых свойствах времени, обнаруженных посредством астрофизических наблюдений". // "Проблемы исследования Вселенной". Всесоюзного астрономо-геодезического общества АН СССР. Выпуск 9, 1980г. "Проявление космических факторов на Земле и звёздах". с.76-84](#)
- [2]. Lavrentijev M.M, Eganova I.A., Luzet M.K. “About planet influence on a resistor at distance“, *Doklady akademii nauk. Fizika*, vol. 314, 1990, pp. 352-355. (in Russian).
- [3]. Lavrentijev M.M, Gusev V.A., Eganova I.A., Luzet M.K, Fominyh S.F. „About registration of real sun constellation“, *Doklady akademii nauk. Fizika*, vol. 315, 1990, pp. 368-370. (in Russian).
- [4]. Lavrentijev M.M., Eganova I.A., Medvedev V.G., Oleynik V.K., Fominyh S.F. „About scanning of sky by Kozyrev sensor“, *Doklady akademii nauk. Astronomy*, vol. 323, 1992, pp. 649-652. (in Russian).
- [5]. Zubow K., Zubow A.V., Zubow V.A. “Experimental Methods for the Determination of the Super Light Velocities of the Gravitation. Nature, Structure and Properties of Gravitation Waves”. *In Horozons of World Physics*. Editor.....NY. 2010 (in print).
- [6]. K.V. Zubow, A.V. Zubow, V.A. Zubow, “Principles of gravitation spectroscopy. New form of molecular matter. Processes. Fields“. Aist Handels- und consulting GmbH, dep. R&D, Berlin, 2010, electronic book (www.zubow.de), p. 854. (in Russian).
- [7]. Zubow K.V., Zubow A.V., Zubow V.A. Ensemble of Clusters – New Form of Molecular Matter, Risks and Chances. Zubow Equations. In *Advances in Chemistry Research*, vol. 5, 2010, pp. Editor J.C. Taylor. Novapublisher. NY.

-
- [8]. Zubow K.V., Zubow A.V., Zubow V.A., “Using of flicker noise spectroscopy for non destroying analysis of nano structures“, *Zavodskaja Laboratorija. Diagnostics of materials*, vol. 74, no. 9, 2008, pp.40-45. (in Russian).
- [9]. Zubow K.V., Zubow A.V., Zubow V.A., “The Dynamics of Low Frequency Movements of Molecular Clusters in the Hardening Process of Epoxide Resins,” *Chem Promislennost segodnja*, no. 9, 2008, pp. 12-21. (in Russian).
- [10]. Zubow K., Zubow A.V., Zubow V.A. “Water Clusters in Plants. Fast Channel Plant Communications. Planet Influence”, *Journal of Biophysics Chemistry*, vol.1, no.1, 2010, pp.1-11
- [11]. Zubow K.V., Zubow A.V., Zubow V.A., “Cluster structure of liquid alcohols, water and n-Hexane“, *J. of Appl. Spectr.*, vol. 72, no. 3, 2005, pp. 321-328.
- [12]. Kokkotas, Kostas D, “Gravitational waves“, *Acta Physica Polonica*, vol. 38, no.12, 2007, pp. 3891-3923
- [13]. Pauling L., Pauling P. Chemistry. W.H. Freeman and company San Francisco. 1975.
- [14]. Zubow K., Zubow A.V., Zubow V.A. “The Phenomenon of Proton Dissolving in Vacuum and of Proton Condensation from Vacuum. Two Forms of Protons, Structure of Nuclei, Electrons and Atoms”, *J. of modern physics*, vol.1, no.1, 2010 pp.175-184.
- [15]. Schertler, Klaus; Leupold, Stefan; Schaffner-Bielich, Jurgen. “Neutron stars and quark phases in the Nambu-Jona-Lasinio model”. *Physical Review C: Nuclear Physics*, vol. 60, no., 2, 1999, pp.025801/1-025801/11.
- [16]. Nakazato, Ken'ichiro; Sumiyoshi, Kohsuke; Yamada, Shoichi. “Astrophysical implications of equation of state for hadron-quark mixed phase: Compact stars and stellar collapses”. *Physical Review D: Particles, Fields, Gravitation, and Cosmology*, vol. 77, no. 10, 2008, pp. 103006/1-103006/12.
- [17]. An Album of Fluid Motion. Assembled by Milton van Dyke. The Parabolic Press, Stanford California. 1982. P. 83.
- [18]. Dikarev S.N. “Laboratory study of resonant regimes of motions of homogeneous fluid with free surface in a tilted rotating container”. *Izvestia AN. Fizika atmosferi i okeana*, vol. 26, no. 9, 1990, pp. 982-992 (in Russian).
- [19]. Manin D.Yu., Chernousko Yu. L. “An experimental study of the stability of a quasi two-dimensional jet flow produced in rotating fluid by sinks and sources”. *Izvestia AN. Fizika atmosferi i okeana*, vol. 26, no. 5, 1990, pp. 483-492 (in Russian).
- [20]. Zubow K., Zubow A.V., Zubow V.A “Phenomenon of Fast Rotate Bodies Influence on the Long-Range Order in Water” *Известия ВУЗов. Физика. 2010 in print* (in Russian)..
- [21]. Zabolotnyy M.E. In *Fizicheskiy Enciklopedicheskiy Slovar*. M.: Sovijet Enciclopedia. 1984. p. 339.
- [22]. Zubow K., Zubow A.V., Zubow V.A. “Experimental Platform for the Investigation of the Structural Heterogeneity of the Physical Vacuum. Vacuum Energy Risks and Chances”. In *Horizons of World Physics*. Editor.....NY. 2010 (in print).

[23]. Ignatiev, A. Yu.; Volkas, R. R. “Geophysical constraints on mirror matter within the Earth”, *Physical Review D: Particles and Fields*, vol. 62, no. 2, 2000, pp. 023508/1-023508/7.

[24]. Rogdestwensky V.N. In *Fisitsheskij Enziclopeditsheskij Slowar*. M.: Sovijet Enciclopedia. 1984. p. 200